

Instituto Tecnológico de Aeronáutica
Divisão de Engenharia Eletrônica - Departamento de Sistemas e Controle
EES-40 – Controle Moderno – 2023/2

LAB 4: Projeto de controlador DLQG com filtro de Kalman – caso SISO

Prof. Jacques Waldmann

Trataremos do problema de controle estocástico LQG discreto no tempo – DLQG – de sistema SISO. O modelo é linear, a função custo é quadrática, ponderando a saída da planta e o controle, e as perturbações no modelo e na medida são sequências ruidosas brancas aditivas Gaussianas. O *Princípio da Separação* é resultado importante para sistemas discretos no tempo como os estudados em EES-40, submetidos a distúrbios do tipo aditivo apenas (não há, por exemplo, distúrbios multiplicativos).

Segundo o Princípio acima referido, o controle ótimo DLQG é o mesmo que seria obtido na ausência dos distúrbios aditivos e contando com o estado da planta disponível para realimentação. O LGR-S do sistema contínuo determinará relação entre os polos de malha fechada da solução DLQR e a ponderação da sequência de controle na função custo quadrático discreto. Já o estimador do estado da planta será o *filtro de Kalman discreto*, que considera a incerteza acerca do estado inicial da planta e pondera as estatísticas das sequências ruidosas de modelo e de medida na determinação do ganho de estimação. O filtro de Kalman (KF) tem *ganho variante no tempo* e estima a média do estado da planta e respectiva covariância do erro de estimação, que idealmente é Gaussiano. *O controlador DLQG com filtragem de Kalman é um sistema dinâmico linear variante no tempo.* Em funcionamento ótimo, a inovação do filtro – a diferença entre a medida da saída da planta e sua previsão pelo KF – será uma sequência branca, não enviesada e Gaussiana. *A prática, entretanto, terá o filtro operando em condição subótima.*

Usaremos para projeto o modelo linear $Y(s)/\hat{U}(s) = G(s)$ já visto e novamente aumentado com ação integral, representado no espaço de estado, discretizado no tempo e alterado para incluir sequências ruidosas brancas Gaussianas aditivas no modelo e na medida. Para o controle, primeiro investigaremos o uso pelo KF da pseudomedida $\int_0^t (r - y) d\tau$ (i.e., a integral do erro de rastreamento na saída) para estimar o estado da planta aumentado com a integral do erro de rastreamento; depois, investigaremos o uso no KF da medida y para estimar apenas o estado da planta.

Antes, duas questões acerca de tempo de amostragem T_s tendendo a zero:

1. Seja uma planta SISO cujo modelo dinâmico linear invariante no tempo é controlável e observável. Sua representação no espaço de estado é $(\mathbf{A}, \mathbf{B}, \mathbf{C}, 0)$. Considere o método de discretização ‘zoh’, que produzindo uma representação discretizada $(\mathbf{A}_d, \mathbf{B}_d, \mathbf{C}, 0)$. Qual o efeito de T_s tender a zero sobre a controlabilidade e a observabilidade do sistema discretizado?

2. Um controlador projetado no domínio contínuo tem função de transferência $C(s)=U(s)/E(s)=1/(s+1)$. O controlador é discretizado com método ‘tustin’ e extremamente pequeno tempo de amostragem, $T_s = 10^{-5}$ [s], por exemplo. O comando *zpk* informa zero, polo e ganho da função de transferência pulso $C_d(z)= U_d(z)/E_d(z)$. O sinal de erro é normalizado, $|e[k]|_{\max}=1$. A representação dos coeficientes da lei de controle e os cálculos empregarão apenas três casas decimais, sem notação científica. A sequência $u[k]$ resultante é afetada pela sequência $e[k]$ com esse tempo de amostragem? Por que a seleção de frequência de amostragem bastante elevada para obter controle “quase-contínuo” requer considerar se é adequada a quantidade de bits para representação numérica?

Parte 1 – Projeto DLQR da lei de realimentação ótima de estado discreta no tempo. O modelo contínuo SISO LIT tem função de transferência:

$$G(s) = \frac{Y(s)}{U(s)} = \frac{1000}{(s+10)(s+0,5+10j)(s+0,5-10j)} \quad (1)$$

Cada grupo deve adotar uma realização distinta para o modelo $G(s)$:

$$\dot{\mathbf{x}} = \mathbf{A}\mathbf{x} + \mathbf{B}u; \mathbf{x} \in \mathbb{R}^3 \quad y = \mathbf{C}\mathbf{x} \quad (2)$$

A ação de integral do erro de rastreo é obtida aumentando a dimensão do vetor de estado \mathbf{x} do modelo com o componente escalar x_I , daí resultando o vetor de estado aumentado \mathbf{x}_{aug} :

$$x_I(t) = \int_0^t \underbrace{(r(\tau) - y(\tau))}_{\text{erro de rastreo}} d\tau; x_I \in \mathbb{R} \quad (3)$$

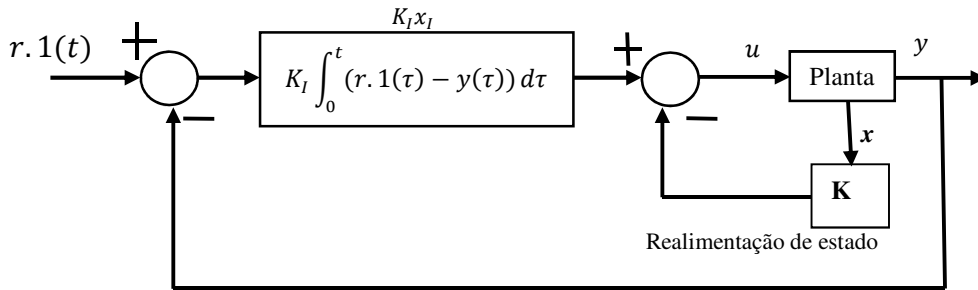


Figura 1 – Estrutura do controle LQR $u = -\mathbf{K}\mathbf{x} + k_I x_I$ com ação integral do erro de rastreo e realimentação de estado; o estado $\mathbf{x} \in \mathbb{R}^3$ é uma abstração, como o modelo nominal da planta, e não é acessível sem sensores para medi-lo. Ruídos não aparecem.

Aumentado com ação integral e representado no espaço de estado, $\mathbf{x}_{aug} \in \mathbb{R}^4$, é:

$$\Rightarrow \underbrace{\begin{bmatrix} \dot{\mathbf{x}} \\ \dot{x}_I \end{bmatrix}}_{\mathbf{\dot{x}}_{aug}} = \underbrace{\begin{bmatrix} \mathbf{A} & \mathbf{0}_{3 \times 1} \\ -\mathbf{C} & 0 \end{bmatrix}}_{\mathbf{A}_{aug}} \underbrace{\begin{bmatrix} \mathbf{x} \\ x_I \end{bmatrix}}_{\mathbf{x}_{aug}} + \underbrace{\begin{bmatrix} \mathbf{B} \\ 0 \end{bmatrix}}_{\mathbf{B}_{aug}} u + \underbrace{\begin{bmatrix} \mathbf{B} \\ 0 \end{bmatrix}}_{\mathbf{B}_{aug}} w + \underbrace{\begin{bmatrix} \mathbf{0}_{3 \times 1} \\ 1 \end{bmatrix}}_{\mathbf{G}_{aug}} r; \quad (4)$$

sendo o par $\{\mathbf{A}_{aug}, \mathbf{B}_{aug}\}$ controlável, assim assegurando que o ruído branco Gaussiano aditivo w na entrada excita todos os componentes do vetor de estado. A pseudomedida y' é a integral do erro de rastreo x_I , modelada com ruído artificial aditivo:

$$y' = [\mathbf{0}_{1 \times 3} \quad 1] \mathbf{x}_{aug} + v(t) = \mathbf{C}_{xi} \mathbf{x}_{aug} + v \quad (5)$$

O par $\{\mathbf{A}_{aug}, \mathbf{C}_{xi}\}$ é observável assim que assegurando todos os componentes do vetor de estado contribuem para a pseudomedida de maneira particular e recuperável.

Tarefa 1: Desconsiderando-se os ruídos, com o modelo determinístico projetar a realimentação de estado discreto $u[k] = -\mathbf{K}_{dlqr} \cdot \mathbf{x}_{aug}[k]$. Verificar se a resposta amostrada à referência degrau da malha fechada do modelo determinístico discreto com saída $[y \quad y']^T$ com realimentação de estado ótima DLQR atende aos requisitos.

Inicialmente, o projeto LQR no domínio contínuo determina o ganho \mathbf{K}_{lqr} para conhecer a banda passante ω_b da resposta em frequência de malha fechada e selecionar o tempo de amostragem T_s adequado para discretizar o modelo da planta com o equivalente ZOH. Para isso, determinam-se os polos de malha fechada no plano-s da função de transferência “artificial” $G_{xi}(s) = \mathbf{C}_{xi}(s\mathbf{I} - \mathbf{A}_{aug})^{-1}\mathbf{B}_{aug}$ e o respectivo peso ρ que pondera o controle contínuo $u(t)$ no custo $J_{LQR} = \int_0^\infty (x_I^2 + \rho u^2)dt$ do problema contínuo, conforme o LGR-S (lugar geométrico das raízes simétrico).

O peso ρ selecionado do LGR-S depois irá ponderar a sequência de controle quadrático no custo do problema LQR discreto. Notar que a seleção do peso ρ afeta os polos da malha fechada, portanto afeta a banda passante, a seleção do intervalo de amostragem T_s e o resultado \mathbf{K}_{dlqr} do projeto DLQR.

Vide os comandos no *script* de projeto Lab4_EES40_2023_semana14_DLQGcomKF_alunado.m.

```
C_xi=[0 0 0 1];
Klqr=lqr(Aaug,Baug,C_xi'*C_xi,rho);
Aaugmf=Aaug-Baug*Klqr;
SysMF=ss(Aaugmf,Gaug,[Caug;C_xi],0); (projeto lqr, malha fechada no plano-s; saídas y e y')
figure;bodemag(Sysmf); (ler banda passante  $\omega_b$  de  $Y(j\omega)/R(j\omega)$  e selecionar  $T_s$  adequado.
.....(código para determinar se a resposta contínua em malha fechada atende requisitos – vide script)
.....(código para verificar controlabilidade do par (Aaugd,Baugd) do sistema discretizado pelo método 'zoh')
```

O modelo determinístico discreto no tempo para o projeto DLQR é $\mathbf{x}_{aug}[k+1] = \mathbf{A}_{augd}\mathbf{x}_{aug}[k] + \mathbf{B}_{augd}u[k] + \mathbf{G}_{augd}r[k]$, $y' = \mathbf{C}_{xi}\mathbf{x}_{aug}[k]$. O projeto produz o vetor de ganhos \mathbf{K}_{dlqr} de realimentação do estado discreto no tempo que minimiza o custo $J_{DLQR} = \sum_{k=0}^\infty (x_I^2[k] + \rho \cdot u^2[k])$:

```
[Kd,~,Eig_d]=dlqr(Aaugd,Baugd,C_xid'* C_xid,rho);
```

Parte 2 – Filtro de Kalman discreto no tempo e controle DLQG

A primeira versão do KF empregará a pseudomedida y' , i.e., a integral do erro de rastreo x_I , modelada – erroneamente, e de forma intencional – com ruído branco aditivo artificial:

$$y' = [\mathbf{0}_{1 \times 3} \quad 1]\mathbf{x}_{aug} + v(t) = \mathbf{C}_{xi}\mathbf{x}_{aug} + v(t) = x_I(t) + v(t) \quad (6)$$

A formulação do filtro estimará, com problemas, o estado aumentado. O par $\{\mathbf{A}_{aug}, \mathbf{C}_{xi}\}$ do sistema contínuo é observável. O modelo contínuo estocástico é $\dot{\mathbf{x}}_{aug} = \mathbf{A}_{aug}\mathbf{x}_{aug} + \mathbf{B}_{aug}u + \mathbf{B}_{aug}w + \mathbf{G}_{aug}r$, $y' = \mathbf{C}_{xi}\mathbf{x}_{aug} + v$. Os processos ruidosos em tempo contínuo w e v são assumidos brancos, Gaussianos, com média nula e descorrelacionados entre si e da condição inicial $\mathbf{x}_{aug}(0)$, a qual é assumida Gaussianiana com covariância \mathbf{P}_{aug0} . Os parâmetros q e r são densidades espectrais de potência (PSD):

$$E[w(t)] = 0, E[w(t)w(\tau)] = q \cdot \delta(t - \tau), \forall t, \tau \geq 0, E[v(t)] = 0, E[v(t)v(\tau)] = r \cdot \delta(t - \tau), \\ E[w(t)v(\tau)] = 0, E[w(t)\mathbf{x}_{aug}(0)] = \mathbf{0}, E[v(t)\mathbf{x}_{aug}(0)] = \mathbf{0} \quad \forall t \geq 0$$

Convém verificar a observabilidade do par $(\mathbf{A}_{augd}, \mathbf{C}_{xi})$ do sistema discretizado.

O modelo estocástico discreto no tempo é perturbado aditivamente por sequência branca Gaussianiana $w_d[k]$. [Brown, R.G. e Hwang, P.Y.C., *Introduction to Random Signals and Applied Kalman Filtering*, John Wiley & Sons, 1992, pg.299-300] mostram que amostrar diretamente o ruído contínuo branco na medida $v(t)$ produz matematicamente uma sequência ruidosa com variância infinita. Para evitar isso, a amostragem da saída $y'[k]$ equivale à média do sinal $y'(t)$ no intervalo de amostragem T_s . Isto se justifica porque o

estado $\mathbf{x}_{aug}(t)$ não é processo estocástico branco e pode ser aproximado como constante no intervalo de amostragem T_s suficientemente curto, produzindo a sequência de ruído com variância finita $r_d = r/T_s$ da sequência ruidosa $v_d[k]$ na medida amostrada $y'[k]$. (vide Apêndice)

$$E[w_d[k]] = 0, E[w_d[k]w_d[j]] = q \cdot T_s \cdot \delta_{k-j} = q_d, E[w_d[k]v_d[j]] = 0 \quad \forall k, j \geq 0$$

$$E[v_d[k]] = 0, E[v_d[k]v_d[j]] = r/T_s \cdot \delta_{k-j} = r_d \quad E[w_d[k]\mathbf{x}_{aug}(0)] = E[v_d[k]\mathbf{x}_{aug}(0)] = \mathbf{0}$$

Estudo e testes com a planta e o sensor embasam a escolha, com o melhor conhecimento disponível, da incerteza no estado inicial da planta aumentada \mathbf{P}_{aug0} e dos parâmetros q e r . Ainda assim, \mathbf{P}_{aug0} e as variâncias q_d e r_d são parâmetros que o projetista precisa sintonizar em vista da impossibilidade de conhecimento completo e exato das incertezas na planta e no sensor.

Assumiremos que o ruído de pseudomedida é bastante reduzido. Por exemplo, para $\rho^{-1} = 5 \times 10^3$ e $T_s = 5 \times 10^{-3}[s]$, uma escolha é $\mathbf{P}_{aug0} = \text{diag}(0,01 \quad 1 \quad 1 \quad 0,01)$, $q_d = 0,25 \cdot T_s$ e $r_d = 5 \times 10^{-5}/T_s$. Tente outras.

Tarefa 2: Sintonize o filtro de Kalman discreto apresentado no *script* de projeto, simule o controlador DLQG; use a função de autocorrelação normalizada para avaliar a hipótese de brancura da sequência de inovação $y'[k] - \mathbf{C}_{xi}\hat{\mathbf{x}}_{aug}[k|k-1]$ segundo os resultados da simulação. Em seguida, use o script que controla a placa AD/DA da NI, EES40_2023_PlacaNI_Lab4controller_DLQGcomKF.m, para implementar o controlador DLQG na bancada. A frequência máxima de amostragem do D/A é 150 Hz. Verifique os resultados e analise se a hipótese é válida.

2.1 Para conhecimento, as equações recursivas das matrizes de covariância do erro de estimação \mathbf{P}_{aug} propagada e atualizada, da variância S da inovação e do vetor de ganho \mathbf{L}_{aug} não requerem, neste problema específico invariante no tempo, a realização dos processos estocásticos \mathbf{x} e y' .

- a. $\mathbf{P}_{aug}(k+1|k) = \mathbf{A}_{augd}\mathbf{P}(k|k)\mathbf{A}_{augd}^T + \mathbf{B}_{augd}q_d\mathbf{B}_{augd}^T$,
 $\mathbf{P}_{aug}(k+1|k) \geq 0, k \geq 0 \quad \mathbf{P}_{aug}(0|0) = \mathbf{P}_{aug0}$ (covariância predita)
- b. $S(k+1|k) = \mathbf{C}_{xi}\mathbf{P}_{aug}(k+1|k)\mathbf{C}_{xi}^T + r_d$ (variância da inovação)
- c. $\mathbf{L}_{aug}(k+1) = \mathbf{P}_{aug}(k+1|k)\mathbf{C}_{xi}^T S^{-1}(k+1|k)$ (ganho de Kalman)
- d. $\mathbf{P}_{aug}(k+1|k+1) = [\mathbf{I}_4 - \mathbf{L}_{aug}(k+1)\mathbf{C}_{xi}]\mathbf{P}_{aug}(k+1|k)$,
 $\mathbf{P}_{aug}(k+1|k+1) \geq 0$ (covariância atualizada)
- e. $k \leftarrow k+1$ (nova iteração; voltar para a.)

2.2 Simulação da planta. A planta discreta é controlada com a realimentação do estado estimado e gera o estado “verdadeiro” $\mathbf{x}_{aug}[k]$ e a medida $y'[k]$:

1. $\hat{\mathbf{u}}[k] = -\mathbf{K}_{dlqr} \cdot \hat{\mathbf{x}}_{aug}(k|k), k \geq 0, \hat{\mathbf{x}}_{aug}(0|0) \sim \mathcal{N}(\mathbf{0}, \mathbf{P}_{aug0})$
(Princípio da Separação: realimentação do estado estimado)
2. $\mathbf{x}_{aug}[k+1] = \mathbf{A}_{augd}\mathbf{x}_{aug}[k] + \mathbf{B}_{augd}\hat{\mathbf{u}}[k] + \mathbf{B}_{augd}w_d[k] + \mathbf{G}_{augd}r[k]$,
 $\mathbf{x}_{aug}[0] = \mathbf{0}$ (estado verdadeiro)

$$3. y'[k] = \mathbf{C}_{xi} \mathbf{x}_{aug}[k] + v_d[k] \quad (\text{medida verdadeira})$$

$$4. e[k] = r[k] - \mathbf{C}_{aug} \mathbf{x}_{aug}[k] \quad (\text{erro de rastreamento})$$

O estado inicial da planta não é conhecido pelo projetista em circunstâncias práticas. O filtro é iniciado com $\hat{\mathbf{x}}_{aug}(0|0) \sim \mathcal{N}(\mathbf{0}, \mathbf{P}_0)$ (vide 2.2.1 e o comando `mvnrnd`)

2.3 – Simulação do filtro de Kalman. As equações recursivas computam a estimativa do estado propagado (*a priori*) $\hat{\mathbf{x}}_{aug}(k+1|k)$, a inovação $\tilde{y}(k+1|k)$ e a estimativa do estado atualizado (*a posteriori*) $\hat{\mathbf{x}}_{aug}(k+1|k+1)$. A inicialização do filtro já foi vista acima.

$$5. \hat{\mathbf{x}}_{aug}(k+1|k) = \mathbf{A}_{augd} \hat{\mathbf{x}}_i(k|k) + \mathbf{B}_{augd} \hat{u}_i[k] + \mathbf{G}_{augd} r[k], \quad k \geq 0, \quad (\text{estimativa predita})$$

$$6. \tilde{y}(k+1|k) = y'[k+1] - \mathbf{C}_{xi} \hat{\mathbf{x}}_{aug}(k+1|k) \quad (\text{inovação})$$

$$7. \hat{\mathbf{x}}_{aug}(k+1|k+1) = \hat{\mathbf{x}}_{aug}(k+1|k) + \mathbf{L}_{aug}(k+1) \cdot \tilde{y}(k+1|k) \quad (\text{estimativa atualizada})$$

$$9. k \leftarrow k+1 \quad (\text{nova iteração; voltar para 2.2.1})$$

Armazenar $\hat{u}[k]$, $e[k]$, $\tilde{y}(k+1|k)$ a cada instante $k \geq 0$ para investigar o desempenho do controle em malha fechada e o do filtro de Kalman em uma única realização. A operação na bancada confirma a hipótese de brancura da inovação? Explique.

Tarefa 3: Projetar filtro de Kalman de ordem três que estima somente o estado da planta com a medida da saída da planta y e o empregar no controlador DLQG. Vide o *script* de projeto Lab4_EES40_2023_semana14_DLQGcomKFRedux_alunado.m. Implementar na bancada com o *script* EES40_2023_PlacaNI_Lab4controller_DLQGcomKFRedux.m e sintonizar. A hipótese de brancura da sequência de inovação se sustenta na operação em bancada? Explique.

Apêndice:

$$y[k] = 1/T_s \int_{(k-1)T_s}^{kT_s} y(\tau) d\tau = 1/T_s \int_{(k-1)T_s}^{kT_s} [\mathbf{C}\mathbf{x}(\tau) + v(\tau)] d\tau \approx \mathbf{C}\mathbf{x}[k] + 1/T_s \int_{(k-1)T_s}^{kT_s} v(\tau) d\tau$$

$$v_d[k] = 1/T_s \int_{(k-1)T_s}^{kT_s} v(\tau) d\tau$$

$$E[v_d[k]] = 0, \quad E[(v_d[k])^2] = E[1/T_s \int_{(k-1)T_s}^{kT_s} v(\tau_1) d\tau_1 \cdot 1/T_s \int_{(k-1)T_s}^{kT_s} v(\tau_2) d\tau_2]$$

$$\Rightarrow r_d = E[(v_d[k])^2] = E[1/T_s^2 \iint_{(k-1)T_s}^{kT_s} E[v(\tau_1)v(\tau_2)] d\tau_1 d\tau_2] = 1/T_s^2 E[\int_{(k-1)T_s}^{kT_s} r d\tau_2] = r/T_s$$

Estrutura do sistema de controle DLQG com filtragem de Kalman. No projeto, a planta aumentada contínua foi discretizada com método de equivalência ZOH e representada no espaço de estado.

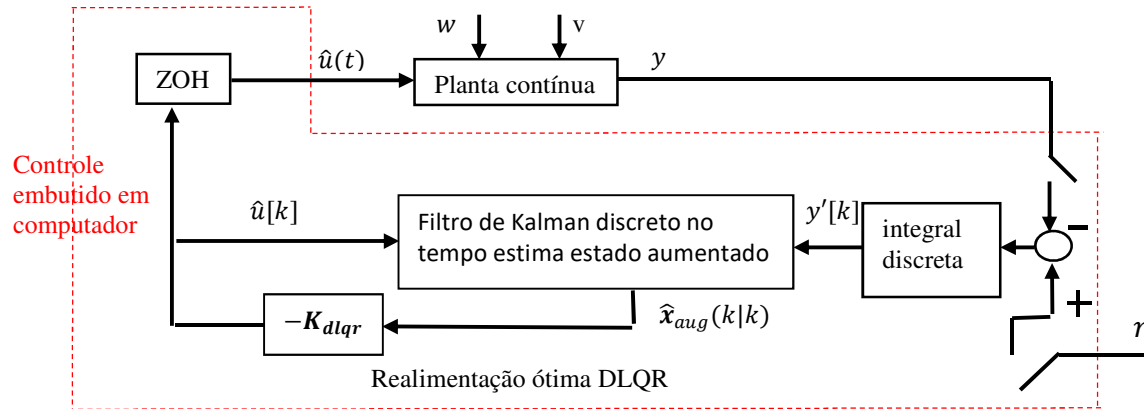


Figura 2 – Controle DLQG com filtro de Kalman estimando o estado aumentado usando a pseudomedida $y'[k]$.